

УДК 621.396.96

**ОПРЕДЕЛЕНИЕ ФАЗ ОТДЕЛЬНЫХ СПЕКТРАЛЬНЫХ СОСТАВЛЯЮЩИХ ТОКА ХОЛОСТОГО ХОДА ЭЛЕКТРИЧЕСКОЙ МАШИНЫ**

**Исаев А.В., Любинский К.А., Голубович А.И., Гулич А.Ю., Адамович К.А., Веселовский В.А.**

*Белорусский национальный технический университет  
Минск, Республика Беларусь*

**Аннотация.** Работа посвящена математическому описанию по определению фаз отдельных спектральных составляющих тока холостого хода при работе электрической машины по временным параметрам исходного измерительного сигнала.

**Ключевые слова:** спектральные составляющие, начальная фаза, преобразование Фурье, ток холостого хода электрической машины.

**DETERMINATION OF THE PHASES OF INDIVIDUAL SPECTRAL COMPONENTS OF THE NO-LOAD CURRENT OF AN ELECTRICAL MACHINE**

**Isaev A.V., Lyubinsky K.A., Golubovich A.I., Gulich A.Yu., Adamovich K.A., Veselovsky V.A.**

*Belarusian National Technical University  
Minsk, Republic of Belarus*

**Abstract.** The work is devoted to a mathematical description of determining the phases of individual spectral components of the no-load current during operation of an electric machine according to the time parameters of the original measuring signal.

**Key words:** spectral components, initial phase, Fourier transform, no-load current of an electric machine.

Адрес для переписки: Исаев А.В., пр. Независимости, 65, г. Минск, 220113, Республика Беларусь  
e-mail: isaev0302@gmail.com

Контроль работоспособности электрических машин в процессе эксплуатации в основном заключается в измерении действующих значений токов в фазах и анализе переходных процессов в динамических режимах [1]. Используемый для этих целей анализ спектральных составляющих токов, несмотря на свои возможности, достаточно трудно реализовать в условиях эксплуатации электрических машин из-за непрекращающихся переходных процессов, при непрогнозируемых изменениях режимов работы. Быстротекущий характер этих изменений и инертность полосовых фильтров, выделяющих отдельные спектральные составляющие, не позволяют измерять их реальные значения. Кроме того, низкочастотные полосовые фильтры на частоте, кратной промышленной, обладают значительными габаритами и инерционностью. Однозначное соответствие временных параметров сигнала и его спектра, определяемого преобразованием Фурье, позволяет найти корреляцию между параметрами спектра сигнала и его временными характеристиками, измерение и контроль которых с помощью существующих измерительных средств возможно проинвестировать с достаточно высокой точностью.

В [2] был проведен анализ полученной зависимости в случае предположения, что точка максимума кривой ( $t_m$ ) наступает в момент времени  $T/4$ , т. е. когда в модели не учитывается активное сопротивление катушки. Данное предположение характерно для идеальной электромагнитной системы, когда не учитываются активные потери обмоток и магнитопровода, а, следовательно, такое

упрощение вносит дополнительные существенные погрешности.

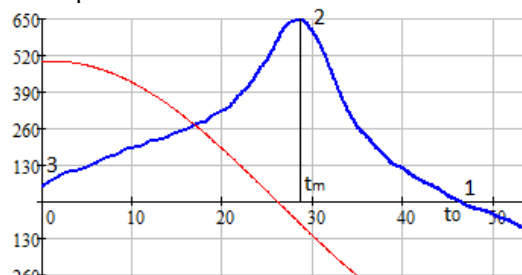


Рисунок 1 – Анализируемая кривая намагничивающего тока обмотки электрической машины: 1 – значение кривой тока в момент времени  $t = t_0$ ; 2 – значение кривой тока в момент времени  $t = t_m$ ; 3 – значение кривой тока в момент времени  $t = 0$

Анализ кривой тока показывает, что в форме можно выделить несколько характерных точек: 1 – значение кривой тока  $i(t)$  в момент времени  $t = t_0$ ; 2 – значение  $I_m$  кривой тока  $i(t)$  в момент времени  $t = t_m$ ; 3 – значение  $I_0$  кривой тока  $i(t)$  в момент времени  $t = 0$ .

Известно, что любая периодическая кривая может быть представлена рядом Фурье в тригонометрической форме как:

$$i(t) = \sum_{n=1}^{\infty} I_{mn} \sin(n\omega t_0 + \varphi_n),$$

где  $I_{mn}$  – амплитуды гармонических составляющих.

В точке 1 кривой  $i(t)$  в момент времени  $t = t_0$  равно нулю:

$$i(t_0) = \sum_{n=1}^{\infty} n I_{mn} \cos(n\omega t_{m1} + \varphi_n) = 0.$$

В точке 2 кривая тока  $i(t)$  имеет максимум в момент времени  $t = t_m$ . Следовательно первая производная функции, описывающей кривую тока, в момент времени  $t = t_m$  равно нулю:

$$\sum_{n=1}^{\infty} n I_{mn} \cos(n\omega t_{m1} + \varphi_n) = 0.$$

Точка 3 является точкой перегиба. Следовательно вторая производная функции, описывающей кривую тока, в момент времени  $t = 0$  равно нулю:

$$-(n\omega)^2 \sum_{n=1}^{\infty} I_{mn} \sin(n\omega t + \varphi_n) = 0$$

или

$$\sum_{n=1}^{\infty} n^2 I_{mn} \sin(\varphi_n) = 0.$$

Эти выражения представляют собой систему уравнений, связывавших временные параметры тока с параметрами гармонических составляющих.

Преобразуем первое уравнение:

$$I_{m1} \sin(\omega t_0 + \varphi_1) + \sum_{n=3}^{\infty} I_{mn} \sin(n\omega t_0 + \varphi_n) = 0$$

и разделим на составляющую первой гармоники:

$$1 + \sum_{n=3}^{\infty} \frac{I_{mn} \sin(n\omega t_0 + \varphi_n)}{I_{m1} \sin(\omega t_0 + \varphi_1)} = 0.$$

Аналогично преобразуем остальные уравнения. Таким образом получим преобразованную систему тригонометрических уравнений:

$$\begin{cases} 1 + \sum_{n=1}^{\infty} \frac{I_{mn} \sin(n\omega t_0 + \varphi_n)}{I_{m1} \sin(\omega t_0 + \varphi_1)} = 0 \\ 1 + \sum_{n=1}^{\infty} n \frac{I_{mn} \cos(n\omega t_m + \varphi_n)}{I_{m1} \cos(\omega t_m + \varphi_1)} = 0 \\ 1 + \sum_{n=1}^{\infty} n^2 \frac{I_{mn} \sin(\varphi_n)}{I_{m1} \sin(\varphi_1)} = 0. \end{cases}$$

Сложим второе и третье уравнение системы:

$$1 + \sum_{n=1}^{\infty} n \frac{I_{mn} \cos(n\omega t_m + \varphi_n)}{I_{m1} \cos(\omega t_m + \varphi_1)} + 1 + \sum_{n=1}^{\infty} n^2 \frac{I_{mn} \sin(\varphi_n)}{I_{m1} \sin(\varphi_1)} = 0,$$

или

$$1 + \sum_{n=1}^{\infty} \frac{I_{mn}}{I_{m1}} \left( n \frac{\cos(n\omega t_m + \varphi_n)}{2 \cos(\omega t_m + \varphi_1)} + n^2 \frac{\sin(\varphi_n)}{2 \sin(\varphi_1)} \right) = 0.$$

Полученный результат приравняем к первому уравнению системы:

$$1 + \sum_{n=1}^{\infty} \frac{I_{mn} \sin(n\omega t_0 + \varphi_n)}{I_{m1} \sin(\omega t_0 + \varphi_1)} = 1 + \sum_{n=1}^{\infty} n \frac{I_{mn}}{I_{m1}} \left( \frac{\cos(n\omega t_m + \varphi_n)}{2 \cos(\omega t_m + \varphi_1)} + n^2 \frac{\sin(\varphi_n)}{2 \sin(\varphi_1)} \right),$$

или

$$\frac{\sin(n\omega t_0 + \varphi_n)}{\sin(\omega t_0 + \varphi_1)} = n \frac{\cos(n\omega t_m + \varphi_n)}{2 \cos(\omega t_m + \varphi_1)} + n^2 \frac{\sin(\varphi_n)}{2 \sin(\varphi_1)}.$$

Согласно законам тригонометрии избавимся в уравнении от сумм углов в тригонометрических функциях

$$\begin{aligned} & \frac{\sin \omega t_0 \cos \varphi_n + \cos \omega t_0 \sin \varphi_n}{\sin \omega t_0 \cos \varphi_1 + \cos \omega t_0 \sin \varphi_1} = \\ & = n \frac{\cos n \omega t_m \cos \varphi_n - \sin n \omega t_m \sin \varphi_n}{2 \cos n \omega t_m \cos \varphi_1 - 2 \sin n \omega t_m \sin \varphi_1} + \\ & \quad + n^2 \frac{\sin(\varphi_n)}{2 \sin(\varphi_1)}, \end{aligned}$$

приведа к общему знаменателю получим:

$$\begin{aligned} & \frac{(n^2 \sin(\varphi_n)(\sin n \omega t_0 \cos \varphi_1 + \cos n \omega t_0 \sin \varphi_1) \times \\ & \quad \times (2 \cos n \omega t_m \cos \varphi_1 - 2 \sin n \omega t_m \sin \varphi_1))}{(2 \sin(\varphi_1)(2 \cos n \omega t_m \cos \varphi_1 - 2 \sin n \omega t_m \sin \varphi_1) \times \\ & \quad \times (\sin n \omega t_0 \cos \varphi_1 + \cos n \omega t_0 \sin \varphi_1))} + \\ & \frac{(2 \sin(\varphi_1)(n \cos n \omega t_m \cos \varphi_n - 2 \sin n \omega t_m \sin \varphi_n) \times \\ & \quad \times (\sin n \omega t_0 \cos \varphi_1 + \cos n \omega t_0 \sin \varphi_1))}{(2 \sin(\varphi_1)(2 \cos n \omega t_m \cos \varphi_1 - 2 \sin n \omega t_m \sin \varphi_1) \times \\ & \quad \times (\sin n \omega t_0 \cos \varphi_1 + \cos n \omega t_0 \sin \varphi_1))} - \\ & \frac{(2 \sin(\varphi_1)(\sin n \omega t_0 \cos \varphi_n + \cos n \omega t_0 \sin \varphi_n) \times \\ & \quad \times (2 \cos n \omega t_m \cos \varphi_1 - 2 \sin n \omega t_m \sin \varphi_1))}{(2 \sin(\varphi_1)(2 \cos n \omega t_m \cos \varphi_1 - 2 \sin n \omega t_m \sin \varphi_1) \times \\ & \quad \times (\sin n \omega t_0 \cos \varphi_1 + \cos n \omega t_0 \sin \varphi_1))} = 0. \end{aligned}$$

С учетом сходимости функции проведем анализ числителя полученного выражения

$$\begin{aligned} & n^2 \sin(\varphi_n)(\sin n \omega t_0 \cos \varphi_1 + \cos n \omega t_0 \sin \varphi_1) \times \\ & \quad \times (2 \cos n \omega t_m \cos \varphi_1 - 2 \sin n \omega t_m \sin \varphi_1) + \\ & + 2 \sin(\varphi_1)(n \cos n \omega t_m \cos \varphi_n - 2 \sin n \omega t_m \sin \varphi_n) \times \\ & \quad \times (\sin n \omega t_0 \cos \varphi_1 + \cos n \omega t_0 \sin \varphi_1) - 2 \sin(\varphi_1) \times \\ & \quad \times (\sin n \omega t_0 \cos \varphi_n + \cos n \omega t_0 \sin \varphi_n) \times \\ & \quad \times (2 \cos n \omega t_m \cos \varphi_1 - 2 \sin n \omega t_m \sin \varphi_1) = 0, \end{aligned}$$

$$\begin{aligned} & n^2 \sin(\varphi_n) \sin n \omega t_0 \cos \varphi_1 2 \cos n \omega t_m \cos \varphi_1 - \\ & - n^2 \sin(\varphi_n) \sin n \omega t_0 \cos \varphi_1 2 \sin n \omega t_m \sin \varphi_1 + \\ & + n^2 \sin(\varphi_n) \cos n \omega t_0 \sin \varphi_1 2 \cos n \omega t_m \cos \varphi_1 - \\ & - n^2 \sin(\varphi_n) \cos n \omega t_0 \sin \varphi_1 2 \sin n \omega t_m \sin \varphi_1 + \\ & + 2 \sin(\varphi_1) n \cos n \omega t_m \cos \varphi_n \sin n \omega t_0 \cos \varphi_1 + \\ & + 2 \sin(\varphi_1) n \cos n \omega t_m \cos \varphi_n \cos n \omega t_0 \sin \varphi_1 - \\ & - 2 \sin(\varphi_1) n \sin n \omega t_m \sin \varphi_n \sin n \omega t_0 \cos \varphi_1 - \\ & - 2 \sin(\varphi_1) n \sin n \omega t_m \sin \varphi_n \cos n \omega t_0 \sin \varphi_1 - \\ & - 2 \sin(\varphi_1) n \sin n \omega t_0 \cos \varphi_n 2 \cos n \omega t_m \cos \varphi_1 + \\ & + 2 \sin(\varphi_1) \sin n \omega t_0 \cos \varphi_n 2 \sin n \omega t_m \sin \varphi_1 - \\ & - 2 \sin(\varphi_1) n \cos n \omega t_0 \sin \varphi_n 2 \cos n \omega t_m \cos \varphi_1 + \\ & + 2 \sin(\varphi_1) \cos n \omega t_0 \sin \varphi_n 2 \cos n \omega t_m \sin \varphi_1 = 0. \end{aligned}$$

Делим на  $\cos \varphi_n$ :

$$\begin{aligned} & 2n^2 \operatorname{tg} \varphi_n \sin n \omega t_0 \cos \varphi_1 \cos n \omega t_m \cos \varphi_1 - \\ & - 2n^2 \operatorname{tg} \varphi_n \sin n \omega t_0 \cos \varphi_1 \sin n \omega t_m \sin \varphi_1 + \\ & + 2n^2 \operatorname{tg} \varphi_n \cos n \omega t_0 \sin \varphi_1 \cos n \omega t_m \cos \varphi_1 - \\ & - 2n^2 \operatorname{tg} \varphi_n \cos n \omega t_0 \sin \varphi_1 \sin n \omega t_m \sin \varphi_1 + \\ & + 2n \sin(\varphi_1) \cos n \omega t_m \sin n \omega t_0 \cos \varphi_1 + \\ & + 2n \sin(\varphi_1) \cos n \omega t_m \cos n \omega t_0 \sin \varphi_1 - \\ & - 2n^2 \sin(\varphi_1) \sin n \omega t_m \operatorname{tg} \varphi_n \sin n \omega t_0 \cos \varphi_1 - \\ & - 2n \sin(\varphi_1) \sin n \omega t_m \operatorname{tg} \varphi_n \cos n \omega t_0 \sin \varphi_1 - \\ & - 4 \sin(\varphi_1) \sin n \omega t_0 \cos n \omega t_m \cos \varphi_1 + \\ & + 4 \sin(\varphi_1) \sin n \omega t_0 \sin n \omega t_m \sin \varphi_1 - \\ & - 4 \sin(\varphi_1) \cos n \omega t_0 \operatorname{tg} \varphi_n \cos n \omega t_m \cos \varphi_1 + \\ & + 4 \sin(\varphi_1) \cos n \omega t_0 \operatorname{tg} \varphi_n \sin n \omega t_m \sin \varphi_1 = 0, \end{aligned}$$

$$\begin{aligned} & 2n^2 \operatorname{tg} \varphi_n \sin n \omega t_0 \cos \varphi_1 \cos n \omega t_m \cos \varphi_1 - \\ & - 2n^2 \operatorname{tg} \varphi_n \sin n \omega t_0 \cos \varphi_1 \sin n \omega t_m \sin \varphi_1 + \\ & + 2n^2 \operatorname{tg} \varphi_n \cos n \omega t_0 \sin \varphi_1 \cos n \omega t_m \cos \varphi_1 - \\ & - 2n^2 \operatorname{tg} \varphi_n \cos n \omega t_0 \sin \varphi_1 \sin n \omega t_m \sin \varphi_1 - \\ & - 2n \sin(\varphi_1) \sin n \omega t_m \operatorname{tg} \varphi_n \sin n \omega t_0 \cos \varphi_1 - \\ & - 2n \sin(\varphi_1) \sin n \omega t_m \operatorname{tg} \varphi_n \cos n \omega t_0 \sin \varphi_1 - \\ & - 4 \sin(\varphi_1) \cos n \omega t_0 \operatorname{tg} \varphi_n \cos n \omega t_m \cos \varphi_1 + \\ & + 4 \sin(\varphi_1) \cos n \omega t_0 \operatorname{tg} \varphi_n \sin n \omega t_m \sin \varphi_1 = \\ & = -2n \sin(\varphi_1) \cos n \omega t_m \sin n \omega t_0 \cos \varphi_1 - \\ & - 2n \sin(\varphi_1) \cos n \omega t_m \cos n \omega t_0 \sin \varphi_1 + \\ & + 4 \sin(\varphi_1) \sin n \omega t_0 \cos n \omega t_m \cos \varphi_1 - \\ & - 4 \sin(\varphi_1) \sin n \omega t_0 \sin n \omega t_m \sin \varphi_1, \end{aligned}$$

$$\begin{aligned} & n^2 \sin(\varphi_n) (\sin n \omega t_0 \cos \varphi_1 + \cos n \omega t_0 \sin \varphi_1) \times \\ & \times (2 \cos n \omega t_m \cos \varphi_1 - 2 \sin n \omega t_m \sin \varphi_1) + \\ & + 2 \sin(\varphi_1) (n \cos n \omega t_m \cos \varphi_n - n \sin n \omega t_m \sin \varphi_n) \times \\ & \times (\sin n \omega t_0 \cos \varphi_1 + \cos n \omega t_0 \sin \varphi_1) - \\ & - 2 \sin(\varphi_1) (\sin n \omega t_0 \cos \varphi_n + \cos n \omega t_0 \sin \varphi_n) \times \\ & \times (2 \cos n \omega t_m \cos \varphi_1 - 2 \sin n \omega t_m \sin \varphi_1) = 0, \end{aligned}$$

$$\begin{aligned} & n^2 \sin(\varphi_n) \sin n \omega t_0 \cos \varphi_1 2 \cos n \omega t_m \cos \varphi_1 - \\ & - n^2 \sin(\varphi_n) \sin n \omega t_0 \cos \varphi_1 2 \sin n \omega t_m \sin \varphi_1 + \\ & + n^2 \sin(\varphi_n) \cos n \omega t_0 \sin \varphi_1 2 \cos n \omega t_m \cos \varphi_1 - \\ & - n^2 \sin(\varphi_n) \cos n \omega t_0 \sin \varphi_1 2 \sin n \omega t_m \sin \varphi_1 + \\ & + 2 \sin(\varphi_1) n \cos n \omega t_m \cos \varphi_n \sin n \omega t_0 \cos \varphi_1 + \\ & + 2 \sin(\varphi_1) n \cos n \omega t_m \cos \varphi_n \cos n \omega t_0 \sin \varphi_1 - \\ & - 2 \sin(\varphi_1) n \sin n \omega t_m \sin \varphi_n \sin n \omega t_0 \cos \varphi_1 - \\ & - 2 \sin(\varphi_1) n \sin n \omega t_m \sin \varphi_n \cos n \omega t_0 \sin \varphi_1 - \\ & - 2 \sin(\varphi_1) \sin n \omega t_0 \cos \varphi_n 2 \cos n \omega t_m \cos \varphi_1 + \\ & + 2 \sin(\varphi_1) \sin n \omega t_0 \cos \varphi_n 2 \sin n \omega t_m \sin \varphi_1 - \\ & - 2 \sin(\varphi_1) \cos n \omega t_0 \sin \varphi_n 2 \cos n \omega t_m \cos \varphi_1 + \\ & + 2 \sin(\varphi_1) \cos n \omega t_0 \sin \varphi_n 2 \sin n \omega t_m \sin \varphi_1 = 0. \end{aligned}$$

Делим на  $\cos \varphi_n$

$$\begin{aligned} & 2n^2 \operatorname{tg} \varphi_n \sin n \omega t_0 \cos \varphi_1 \cos n \omega t_m \cos \varphi_1 - \\ & - 2n^2 \operatorname{tg} \varphi_n \sin n \omega t_0 \cos \varphi_1 \sin n \omega t_m \sin \varphi_1 + \\ & + 2n^2 \operatorname{tg} \varphi_n \cos n \omega t_0 \sin \varphi_1 \cos n \omega t_m \cos \varphi_1 - \\ & - 2n^2 \operatorname{tg} \varphi_n \cos n \omega t_0 \sin \varphi_1 \sin n \omega t_m \sin \varphi_1 + \end{aligned}$$

$$\begin{aligned} & + 2n \sin(\varphi_1) \cos n \omega t_m \sin n \omega t_0 \cos \varphi_1 + \\ & + 2n \sin(\varphi_1) \cos n \omega t_m \cos n \omega t_0 \sin \varphi_1 - \\ & - 2n \sin(\varphi_1) \sin n \omega t_m \operatorname{tg} \varphi_n \sin n \omega t_0 \cos \varphi_1 - \\ & - 2n \sin(\varphi_1) \sin n \omega t_m \operatorname{tg} \varphi_n \cos n \omega t_0 \sin \varphi_1 - \\ & - 4 \sin(\varphi_1) \sin n \omega t_0 \cos n \omega t_m \cos \varphi_1 + \\ & + 4 \sin(\varphi_1) \sin n \omega t_0 \sin n \omega t_m \sin \varphi_1 - \\ & - 4 \sin(\varphi_1) \cos n \omega t_0 \operatorname{tg} \varphi_n \cos n \omega t_m \cos \varphi_1 + \\ & + 4 \sin(\varphi_1) \cos n \omega t_0 \operatorname{tg} \varphi_n \sin n \omega t_m \sin \varphi_1 = 0, \end{aligned}$$

$$\begin{aligned} & 2n^2 \operatorname{tg} \varphi_n \sin n \omega t_0 \cos \varphi_1 \cos n \omega t_m \cos \varphi_1 - \\ & - 2n^2 \operatorname{tg} \varphi_n \sin n \omega t_0 \cos \varphi_1 \sin n \omega t_m \sin \varphi_1 + \\ & + 2n^2 \operatorname{tg} \varphi_n \cos n \omega t_0 \sin \varphi_1 \cos n \omega t_m \cos \varphi_1 - \\ & - 2n^2 \operatorname{tg} \varphi_n \cos n \omega t_0 \sin \varphi_1 \sin n \omega t_m \sin \varphi_1 - \\ & - 2n \sin(\varphi_1) \sin n \omega t_m \operatorname{tg} \varphi_n \sin n \omega t_0 \cos \varphi_1 - \\ & - 2n \sin(\varphi_1) \sin n \omega t_m \operatorname{tg} \varphi_n \cos n \omega t_0 \sin \varphi_1 - \\ & - 4 \sin(\varphi_1) \cos n \omega t_0 \operatorname{tg} \varphi_n \cos n \omega t_m \cos \varphi_1 + \\ & + 4 \sin(\varphi_1) \cos n \omega t_0 \operatorname{tg} \varphi_n \sin n \omega t_m \sin \varphi_1 = \\ & = -2n \sin(\varphi_1) \cos n \omega t_m \sin n \omega t_0 \cos \varphi_1 - \\ & - 2n \sin(\varphi_1) \cos n \omega t_m \cos n \omega t_0 \sin \varphi_1 + \\ & + 4 \sin(\varphi_1) \sin n \omega t_0 \cos n \omega t_m \cos \varphi_1 - \\ & - 4 \sin(\varphi_1) \sin n \omega t_0 \sin n \omega t_m \sin \varphi_1, \end{aligned}$$

$$\begin{aligned} & \operatorname{tg} \varphi_n (2n^2 \sin n \omega t_0 \cos \varphi_1 \cos n \omega t_m \cos \varphi_1 - \\ & - 2n^2 \sin n \omega t_0 \cos \varphi_1 \sin n \omega t_m \sin \varphi_1 + \\ & + 2n^2 \cos n \omega t_0 \sin \varphi_1 \cos n \omega t_m \cos \varphi_1 - \\ & - 2n^2 \cos n \omega t_0 \sin \varphi_1 \sin n \omega t_m \sin \varphi_1 - \\ & - 2n \sin \varphi_1 \sin n \omega t_m \sin n \omega t_0 \cos \varphi_1 - \\ & - 2n \sin \varphi_1 \sin n \omega t_m \cos n \omega t_0 \sin \varphi_1 - \\ & - 4 \sin \varphi_1 \cos n \omega t_0 \cos n \omega t_m \cos \varphi_1 + \\ & + 4 \sin \varphi_1 \cos n \omega t_0 \sin n \omega t_m \sin \varphi_1) = \\ & = -2n \sin \varphi_1 \cos n \omega t_m \sin n \omega t_0 \cos \varphi_1 \\ & - 2n \sin \varphi_1 \cos n \omega t_m \cos n \omega t_0 \sin \varphi_1 + \\ & + 4 \sin \varphi_1 \sin n \omega t_0 \cos n \omega t_m \cos \varphi_1 - \\ & - 4 \sin \varphi_1 \sin n \omega t_0 \sin n \omega t_m \sin \varphi_1. \end{aligned}$$

Следовательно:

$$\begin{aligned} & (\sin \varphi_1 (2 \sin n \omega t_0 \cos(n \omega t_m + \varphi_1) - \\ & - n \cos n \omega t_m \sin(n \omega t_0 + \varphi_1))) \times \\ \varphi_n = \operatorname{arctg} & \frac{(n^2 \cos(n \omega t_m + \varphi_1) \sin(n \omega t_0 + \varphi_1) - \\ & - n \sin \varphi_1 \sin n \omega t_m \sin(n \omega t_0 + \varphi_1) - \\ & 2 \sin \varphi_1 \cos n \omega t_0 \cos(n \omega t_m + \varphi_1))}{2} \\ & \times \pi \frac{1 + (-1)^{\frac{n+1}{2}}}{2}. \end{aligned}$$

Откуда видно, что фазу любой спектральной составляющей можно вычислить, зная или измерив несколько ключевых точек исследуемого сигнала.

#### Литература

1. Гемке, Р.Г. Неисправности электрических машин / Р.Г. Гемке. – 8-е изд., испр. и доп. – Л.: Энергия, 1995. – 296 с.
2. Цифровой способ измерения фазового сдвига гармонических колебаний: патент РФ 2419098С2 / А. Жук, Е.А. Плигин, А.М. Лягин, Д.В. Романько, А.А. Плехутина. – Опул. 20.05.2011.